

# Novos Ótimos para o Problema da Árvore Geradora com Rotulação Mínima

Thiago Gouveia da Silva<sup>1,3</sup>, Eduardo Vieira Queiroga<sup>2</sup>, Luiz Satoru Ochi<sup>3</sup>,  
Lucidio dos Anjos F. Cabral<sup>2</sup>

<sup>1</sup>Instituto Federal de Educação, Ciência e Tecnologia da Paraíba(IFPB)

<sup>2</sup>Centro de Informática – Universidade Federal da Paraíba(UFPB)  
João Pessoa – PB – Brasil

<sup>3</sup>Instituto de Computação – Universidade Federal Fluminense(UFF)  
Niterói – RJ – Brasil

thiago.gouveia@ifpb.edu.br, eduardovqueiroga@gmail.com  
satoru@ic.uff.br, lucidio@ci.ufpb.br

## RESUMO

O Problema da Árvore Geradora com Rotulação Mínima (PAGRM) consiste em: dado um grafo não orientado  $G = (V, E, L)$ , sendo  $V$  o conjunto de vértices,  $E$  o conjunto de arestas e  $L$  o conjunto de rótulos, no qual cada aresta  $e \in E$  possui um conjunto de rótulos  $L(e)$  associado; o objetivo é encontrar uma árvore geradora de  $G$  que utilize o menor número de rótulos possível. O PAGRM possui aplicações no projeto de redes de comunicação homogêneas assim como na geração de redes de transporte multimodais. Este trabalho realiza um estudo comparativo entre a Formulação Baseada em Cortes Coloridos e o melhor método exato da literatura, propõe uma nova estratégia de *branch-and-bound*, um novo conjunto de inequações válidas e duas heurísticas de separação. Os experimentos realizados demonstram que os métodos propostos apresentaram excelente desempenho, sendo capazes de provar todos os ótimos, dos quais doze inéditos, para o grupo de instâncias de Cerulli *et al.* (2005) com  $|V| = 200$ .

**PALAVRAS CHAVE. Estratégias de Branching. Planos de corte. Árvore Geradora**  
**Área Principal: Programação Matemática**

## ABSTRACT

The Coloring Spanning Tree Problem (CSTP) consists in: given a non-directed graph  $G = (V, E, L)$ , where  $V$  is the set of vertices,  $E$  is the set of edges and  $L$  is the set of labels. Every edge  $e \in E$  has a set of associated labels  $L(e)$ . The goal is to find a spanning tree of  $G$  that uses a minimum number of labels. The CSTP has applications on homogeneous communication networks design and on multimodal transportation networks generation. This work performs a comparative study between the FBCC mathematical formulation and the best exact method, presents a new branch-and-bound strategy, a new set of valid inequalities and two separation heuristics. The experiments show that the proposed methods have competitive performance, proving all optimum, twelve all-new, for the  $|V| = 200$  instance set of Cerulli *et al.* (2005).

**KEYWORDS. Branching Strategies. Cutting planes. Spanning Tree**  
**Main Area: Mathematical Programming**

## 1. Introdução

O problema da Árvore Geradora com Rotulação Mínima (PAGRM), proposto por Chang e Leu (1997), consiste em: dado um grafo não orientado no qual cada aresta possui um conjunto de rótulos (cores) associado, encontrar uma árvore geradora que utilize o menor número possível de rótulos (cores). O PAGRM pertence à classe NP-Difícil e possui aplicações em redes de comunicação (Consoli *et al.*, 2009), redes de transporte multimodais (Van-Nes, 2002) e compressão de dados (Chwatal *et al.*, 2009).

Consoli *et al.* (2009) descreve a aplicação do PAGRM para o projeto de redes de comunicação nas quais existem diferentes meios de transporte possíveis entre os nós da rede, por exemplo cabos de fibra ótica mono/multimodo, de par trançado, coaxiais ou enlaces com diferentes tecnologias de comunicação sem fio. O objetivo seria projetar uma rede possibilitando a conectividade entre todos seus nós utilizando a menor quantidade de meios de comunicação, proporcionando, assim, uma rede mais homogênea.

Formalmente, o PAGRM pode ser descrito como segue: dado um grafo não orientado  $G = (V, E, L)$ , sendo  $V$  o conjunto de vértices de  $G$ ,  $E$  o conjunto de arestas e  $L$  o conjunto de rótulos (cores) sobre  $E$ , onde cada aresta  $e \in E$  possui um conjunto de rótulos  $L(e)$  associado; o objetivo é encontrar uma árvore  $T = (V, E', L')$ , tal que  $E' \subseteq E$  e  $L' \subseteq L$  e  $|L'|$  seja minimizado, ou seja, que utilize o menor número de rótulos possível na árvore solução.

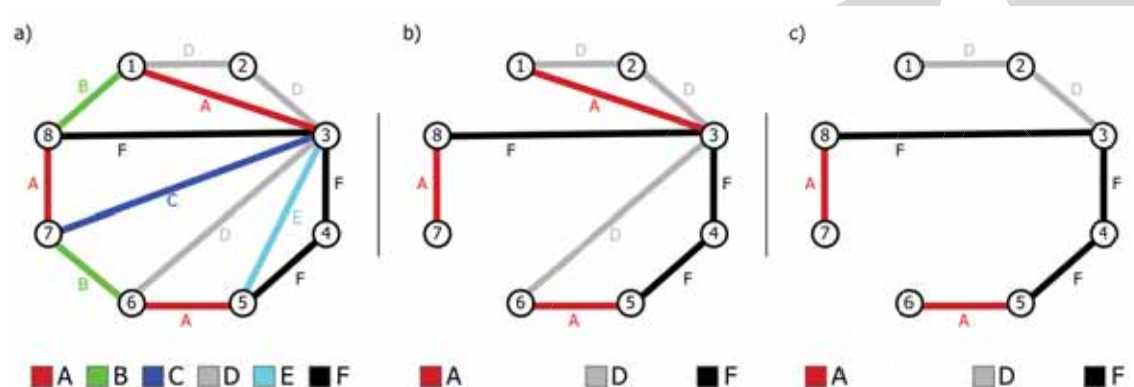


Figura 1. (a) Instância-exemplo do PAGRM, (b) Grafo Conexo com Rotulação Mínima, (c) Árvore de Geradora com Rotulação Mínima.

A Figura 1(a) expõe uma pequena instância-exemplo (PIE) para o PAGRM, para qual  $V = \{1, 2, 3, 4, 5, 6\}$ ,  $L = \{A, B, C, D, E, F\}$  e cada aresta  $e$  possui apenas um rótulo associado, indicado pela letra próxima a esta. A Figura 1(b) exibe um grafo conexo com rotulação mínima para a PIE, enquanto a Figura 1(c) apresenta uma solução para esta PIE, formada pelo subgrafo  $T$  acíclico e conexo, rotulado pelo conjunto  $L' = \{A, D, F\}$ , cujo custo é  $|L'| = 3$ , valor ótimo para a instância.

Vale ressaltar que, apesar de definirmos uma árvore como um grafo conexo e acíclico, o PAGRM pode ser resolvido sem levar em consideração a proibição de ciclos. Conforme observado por Xiong *et al.* (2005), seja  $C^* \subseteq L$  o menor conjunto de rótulos tal que o subgrafo  $G^*$  induzido por  $C^*$  seja conexo, qualquer árvore de cobertura  $T^*$  de  $G^*$  possuirá no máximo  $|C^*|$  rótulos. Dado  $G^*$ , uma árvore de cobertura  $T^*$  de  $G^*$  pode ser obtida em tempo polinomial.

Neste trabalho é apresentado um estudo comparativo entre os métodos exatos existentes para resolução do PAGRM, uma nova estratégia de *branch-and-bound*, um novo conjunto de inequações válidas para o problema e novas instâncias com resultados ótimos provados. Para tal, a Seção 2 traz uma breve revisão sobre os trabalhos relacionados ao PAGRM com foco nos métodos exatos; a Seção 3 apresenta a Formulação Baseada em Cortes Coloridos (FBCC) e as técnicas propostas para seu aprimoramento; A Seção 4 analisa os experimentos e resultados obtidos e, por fim, as considerações finais e propostas de trabalhos futuros são discutidos na Seção 5.

## 2. Trabalhos Relacionados

Desde que foi proposto, o PAGRM tem sido abordado por diversas heurísticas, meta-heurísticas e métodos exatos. Chang e Leu (1997) propuseram dois algoritmos heurísticos para o PAGRM, dos quais destaca-se o Algoritmo da Cobertura Máxima de Vértices (MVCA, do inglês *Maximum Vertex Covering Algorithm*), sendo utilizado por algumas meta-heurísticas para (re)construir soluções. O MVCA parte do grafo sem arestas e, a cada iteração, adiciona ao grafo todas as arestas com o rótulo que cobre o maior número de vértices ainda não visitados. O procedimento termina quando todos os vértices tiverem sido cobertos. Krumke e Wirth (1998) propuseram uma versão corrigida do MVCA, dado que este poderia produzir soluções inviáveis.

No mesmo trabalho, Krumke e Wirth (1998) provam que o MVCA possui o fator de aproximação  $1 + 2\log(n)$ , para  $n = |V|$ . Tal limite foi aprimorado para  $\ln(n - 1) + 1$  por Wan *et al.* (2002), enquanto Xiong *et al.* (2006) provam que uma solução do MVCA apresenta fator de aproximação igual ao *b*-ésimo número harmônico, para um grafo com frequência máxima dos rótulos limitada por *b*.

A primeira meta-heurística proposta para o PAGRM foi o Algoritmo Genético (GA, do inglês *Genetic Algorithm*) de Xiong *et al.* (2005), obtendo resultados superiores aos do MVCA. Cerulli *et al.* (2005) analisaram o desempenho das meta-heurísticas Busca Tabu Reativa, Simulated Annealing e VNS, enquanto Xiong *et al.* (2006) publicaram uma aprimoração do GA, denominada MGA (do inglês *Modified Genetic Algorithm*), alcançando os melhores resultados para o problema até então. Consoli *et al.* (2009) implementou métodos baseados nas meta-heurísticas GRASP e VNS, superando o MGA. Chwatal e Raidl (2010) desenvolveu um algoritmo de Colônia de Formigas para o problema.

Recentemente, Silva *et al.* (2014) propuseram o algoritmo híbrido MSLB (do inglês, *Multi Start Local Branching*) para o PAGRM, baseado em uma implementação eficiente do MVCA em conjunto com uma nova estrutura de vizinhança que faz uso de técnicas de *Local Branching* (Fischetti e Lodi, 2003). Consoli *et al.* (2015), por sua vez, desenvolveram duas novas abordagens: COMPL e INTELL, que utilizam conceitos de Inteligência Artificial e Aprendizagem de Máquina para aprimorar o VNS. Os métodos INTELL e MSLB possuem os melhores resultados heurísticos para o problema até o presente momento.

Em Chang e Leu (1997) foi proposta a primeira abordagem exata para o PAGRM, baseada no algoritmo de busca em árvores  $A^*$ . O método consiste em criar uma árvore de rótulos explorados que possui uma estimativa de custo para o valor da solução final, guiando a construção e a exploração da árvore até que seja encontrado um nó objetivo,

que é indexado por rótulos que produzem uma solução ótima. Captivo *et al.* (2009) desenvolveram três formulações matemáticas baseadas em fluxo simples (SCF, do inglês *Single Commodity Flow*) para resolver o PAGRM por MIP (*Mixed Integer Programming*).

Em Chwatal e Raidl (2011) é realizado um estudo extensivo sobre técnicas de programação matemática para a resolução do PAGRM no qual são propostas cinco novas formulações, planos de corte e heurísticas de separação para os conjuntos exponenciais de restrições, estratégias de *branch-and-cut*, *branch-and-cut-and-price* e diversos conjuntos de inequações válidas para melhorar a relaxação linear dos modelos.

A primeira formulação estudada por Chwatal e Raidl (2011) é a SFC, que foi reformulada dando origem a um novo modelo, baseado em múltiplos fluxos (MCF, do inglês *Multi Commodity Flow*). A segunda formulação proposta é baseada em cortes de arcos (DCUT, do inglês *Directed Cut*), possuindo número exponencial de restrições, separadas por uma heurística de fluxo máximo. Em seguida são propostos dois novos modelos baseados em eliminação de ciclos: CEF (do inglês, *Cycle-Elimination Formulation*) e MTZ (formulação de Miller-Tucker-Zemlin). Por fim, é apresentada uma formulação baseada em cortes de arestas (EC, do inglês *Epsilon Connectivity*), possuindo o número exponencial de restrições separadas por um algoritmo de busca em profundidade em grafos.

Os melhores resultados exatos para o PAGRM até o momento foram obtidos pela formulação  $EC_{sn}$ , dada pela formulação EC fortalecida por inequações de ligação forte (índice  $s$ , do inglês *Strong Linkage*) e de rotulação de nós (índice  $n$ , do inglês *Node Label Constraints*). Uma vez que os métodos propostos neste trabalho tem o desempenho comparado com a formulação  $EC_{sn}$ , esta é discutida em mais detalhes na Seção 2.1.

## 2.1. Formulação $EC_{sn}$

A formulação  $EC_{sn}$ , proposta por Chwatal e Raidl (2011) define os seguintes conjuntos de variáveis: as variáveis de rótulos (cores)  $z_l \in \{0, 1\}$ , para todo  $l \in L$  indicam se o rótulo  $l$  é utilizado na solução; as variáveis de aresta  $x_e$ , para todo  $e \in E$ , indicam se a aresta  $e$  é usada na árvore geradora da solução final. A formulação  $EC_{sn}$  é descrita em (1)..(9).

A função objetivo (1) minimiza o número de rótulos (cores) utilizados na solução. O conjunto de inequações (2) garante que para cada aresta  $e$  escolhida, pelo menos um de seus rótulos é selecionado. A restrição (3) garante o número válido de arestas ativadas para formar uma árvore geradora.

Seja  $\epsilon \in \mathbb{R}$ , um número arbitrariamente pequeno, digamos 0,0001; seja  $\delta(S)$  o conjunto de arestas incidentes ao subconjunto  $S \subset V$ ; o conjunto exponencial de restrições do tipo *conectividade epsilon* (4) obriga que para todo  $S$  exista pelo menos uma aresta incidente ativa, garantindo a conectividade do grafo solução. Este conjunto de restrições é inicialmente vazio, sendo adicionado ao modelo à medida que são encontradas violações. Dada uma solução para a relaxação linear do EC, a heurística de separação escolhe arbitrariamente um vértice a partir do qual é executado um algoritmo de busca em profundidade de grafos (DFS) considerando apenas as arestas  $e$  com  $x_e \geq \epsilon$ . Caso o DFS não consiga alcançar todos os vértices do grafo, um corte válido foi encontrado.

O conjunto de inequações (5) garante que exista pelo menos uma aresta ativa incidente a cada vértice  $v \in V$ , enquanto as inequações (6) e (7) definem os domínios

e limites da variáveis  $x$  e  $z$ , respectivamente. Dado que o conjunto de variáveis  $z \in \{0, 1\}^{|L|}$ , as restrições (2), que associam as variáveis de rótulos às variáveis de arestas, possibilitam que as variáveis do conjunto  $x$  sejam contínuas.

$$\text{Minimizar } \sum_{l \in L} z_l \quad (1)$$

$$\text{s.t. } \sum_{l \in L(e)} z_l \geq x_e, \quad \forall e \in E, \quad (2)$$

$$\sum_{e \in E} x_e = |V| - 1, \quad (3)$$

$$\sum_{e \in \delta(S)} x_e \geq \epsilon, \quad \forall S \subset V, S \neq \emptyset, \quad (4)$$

$$\sum_{e \in \delta(v)} x_e \geq 1, \quad \forall v \in V, \quad (5)$$

$$x_e \geq 0, \quad \forall e \in E, \quad (6)$$

$$z_l \in \{0, 1\}, \quad \forall l \in L. \quad (7)$$

Dois grupos de restrições são adicionadas ao EC para tornar a sua relaxação linear mais forte, dando origem à formulação  $EC_{sn}$ : as inequações de ligação forte (índice  $s$ , do inglês *Strong Linkage*) (8) associam as variáveis de aresta diretamente às variáveis de rótulos, substituindo o conjunto de inequações (2) e excluindo as restrições (3), enquanto o conjunto de restrições de rotulação de nós (índice  $n$ , do inglês *Node Label Constraints*) (9) garante que exista pelo menos um rótulo ativo incidente a cada vértice  $v \in V$ .

$$z_{L(e)} = x_e, \quad \forall e \in E, \quad (8)$$

$$\sum_{l \in L(\delta(v))} z_l \geq 1, \quad \forall v \in V. \quad (9)$$

### 3. Formulação Baseada em Cortes Coloridos (FBCC)

A Formulação Baseada em Cortes Coloridos (FBCC), proposta por Silva *et al.* (2014), foi utilizada em conjunto com técnicas de *Local Branching* para propiciar uma estratégia de busca local exata para o PAGRM. A meta-heurística resultante, MSLB, obteve resultados competitivos em relação aos melhores algoritmos heurísticos da literatura. No entanto, não foi realizado nenhum estudo comparativo contemplando a FBCC e os melhores métodos exatos. Neste trabalho é analisado o desempenho da FBCC em relação ao  $EC_{sn}$ , assim como são propostas duas melhorias para a FBCC: uma nova estratégia de *branch-and-bound* e um novo conjunto de inequações válidas, discutidas nas Seções 3.1 e 3.2, respectivamente.

A FBCC garante a conectividade do grafo solução obrigando que todo corte de arestas do grafo possua pelo menos um rótulo ativo, o que implica que exista uma ou

mais arestas ativas para todo corte. Formalmente, seja  $\delta(S)$  o conjunto de arestas do corte  $[S, V \setminus S]$  e  $L(\delta(S))$  o conjunto de rótulos associados às arestas de  $\delta(S)$ , para todo subconjunto  $S \subset V$ ,  $S \neq \emptyset$ , a solução deve conter pelo menos um rótulo  $l \in L(\delta(S))$  ativo, e por consequência uma ou mais arestas conectando  $S$  ao conjunto de vértices  $V \setminus S$ . A formulação FBCC é apresentada nas equações (10) a (12).

$$\text{Minimizar } \sum_{l \in L} z_l \quad (10)$$

$$\text{s.t. } \sum_{l \in L(\delta(S))} z_l \geq 1, \quad \forall S \subset V, V \neq \emptyset \quad (11)$$

$$z_l \in \{0, 1\}, \quad \forall l \in L. \quad (12)$$

A FBCC define apenas o grupo de variáveis  $z_l \in \{0, 1\}$ ,  $\forall l \in L$ , que indica se o rótulo  $l$  faz parte da solução, enquanto a função objetivo (10) minimiza o número de rótulos utilizados. O conjunto de restrições (11) garante a conectividade do grafo solução resultante e o conjunto de restrições (12) define o domínio das variáveis  $z_l$ .

Pode-se observar que a FBCC apresenta um conjunto exponencial de restrições (11), tornando impraticável a resolução do modelo completo para instâncias de médio e grande porte. Por este motivo, o conjunto de inequações (11) é substituído inicialmente pelo conjunto (13), que garante a conectividade do grafo para todo conjunto unitário de vértices (*singletons*) de  $G$ .

$$\sum_{l \in L(\delta(v))} z_l \geq 1, \quad \forall v \in V. \quad (13)$$

As restrições não consideradas inicialmente são geradas sob demanda por um *framework* de planos de corte. O algoritmo utilizado para separação das inequações (11) efetua uma busca em profundidade no grafo induzido pela solução da FBCC e, para cada componente conexa encontrada, é adicionada uma nova restrição ao modelo. O procedimento é repetido até que o grafo solução seja conexo.

### 3.1. Estratégia de *Branching Prévio*

A resolução de problemas formulados como MIPs geralmente faz uso de algoritmos de *branch-and-bound* que consistem em particionar o espaço de soluções em subespaços disjuntos e solucionar os submodelos resultantes. Após a resolução da relaxação linear (RL) do modelo é selecionada uma variável  $x$  com valor fracionário a partir da qual são gerados dois subproblemas: um para  $x \leq \lfloor \bar{x} \rfloor$  e outro para  $x \geq \lceil \bar{x} \rceil$  ( $x = 0$  e  $x = 1$  para variáveis binárias).

A estrutura do conjunto de restrições (13) da FBCC, contudo, possibilita que seja utilizada uma nova estratégia de particionamento, denominada *branching* por vértices (BpV). Dado um vértice  $v \in V$  qualquer, pelo menos uma variável  $z_l$  para  $l \in L(\delta(v))$  deve ser 1; então, para cada  $l \in L(\delta(v))$  é definido um novo subproblema no qual  $z_l = 1$ .

Para algumas instâncias, porém, o BpV poder ser mais agressivo (BpVa) ao combinar dois vértices que não possuam nenhum rótulo em comum: sejam  $v, w \in V$  tal que  $L(\delta(v)) \cap L(\delta(w)) = \emptyset$ , pelo menos um par de variáveis  $z_l, l \in L(\delta(v))$  e  $z_k, k \in L(\delta(w))$  deve possuir valor 1. Neste caso, é criado um subproblema no qual cada par de variáveis  $z_l = z_k = 1$ . Não é possível aplicar o BpVa quando o grafo-problema não possui nenhum par de vértices sem rótulos em comum.

A estratégia de *branching* prévio proposta realiza o BpVa (BpV) sobre a FBCC, entregando cada subproblema resultante para que o resolvidor aplique o algoritmo de *branch-and-bound* tradicional. A solução do modelo completo é dada pela melhor solução dos subproblemas. A Figura 2(a) apresenta uma instância do PAGRM na qual os vértices 1 e 2 não possuem rótulos em comum. A Figura 2(b) demonstra o *branching* prévio: o segundo nível da árvore é composto pelos subproblemas gerados pelo BpVa onde cada caixa exibe os rótulos fixados em 1, enquanto os níveis seguintes exibem a resolução do subproblema  $z_A = z_E = 1$  pelo método tradicional. A Figura 2(c) exibe o grafo resultante após a fixação dos rótulos  $A$  e  $C$  enquanto a Figura 2(d) detalha o grafo resultante após a colapso dos vértices em respeito aos rótulos fixados.

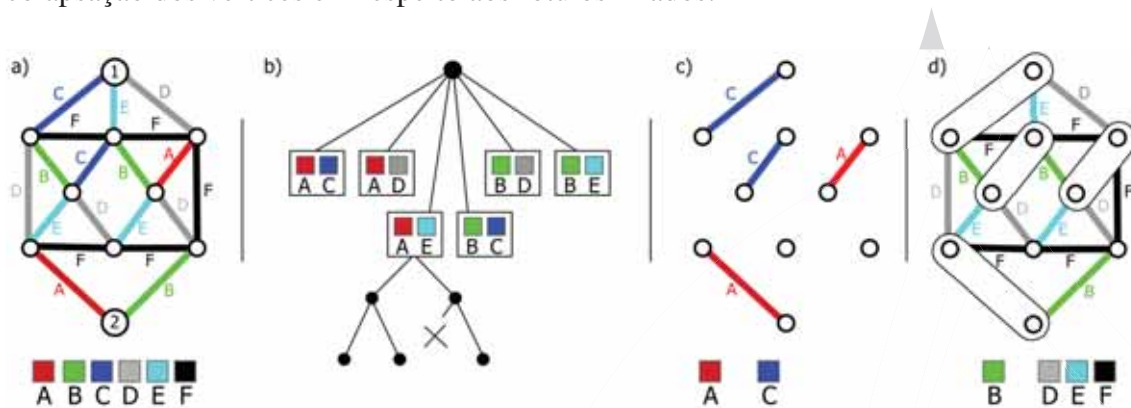


Figura 2. Ilustração da execução do *Branching* Prévio para uma instância do PAGRM.

### 3.2. Cortes de Cores Incidentes

Com o objetivo de fortalecer a FBCC com respeito a sua relaxação linear e, possivelmente, diminuir o tempo de execução do algoritmo de *branch-and-cut* utilizado para resolução do modelo, propomos um novo conjunto de inequações válidas para o PAGRM, denominado Cortes de Cores Incidentes (IC). Os cortes IC tem como base o critério de que devem existir arestas suficientes para que qualquer subconjunto de vértices seja conexo entre si e se conecte ao restante do grafo.

Dado um conjunto de vértices  $S \subset V$ , a inequação (11) relacionada garante que o corte  $\delta(S)$  possua pelo menos uma aresta ativa; neste caso, o conjunto  $S$  precisa de pelo menos  $|S| - 1$  arestas internas ativas para ser conexo. Cada aresta ativa adicional no corte  $\delta(S)$  diminui em 1 o limite inferior de arestas internas ativas. Podemos observar, então, que a soma das arestas internas ativas com as arestas ativas do corte  $\delta(S)$  deve ser pelo menos  $|S|$ . Formalmente, seja  $Ne(l, S)$  uma função que retorna o número de arestas com rótulo  $l$  que incidem sobre qualquer vértice  $v \in S$ , o conjunto de inequações (14) define o conjunto exponencial de cortes IC.

$$\sum_{l \in L} Ne(l, S)z_l \geq |S|, \quad \forall S \subset V, S \neq \emptyset \quad (14)$$

Seja  $G^p$  um grafo-problema, a Figura 3(a) exibe a solução da relaxação linear da FBCC inicializada apenas com restrições de *singletons*. A Figura 3(b) explicita que o conjunto  $S = \{1, 2, 3, 4, 5, 7, 8\}$  viola o corte de IC associado e exibe o corte adicionado ao modelo, enquanto a Figura 3(c) demonstra a solução da relaxação linear da FBCC após a adição do corte de IC. Para  $G^p$ , em especial, o novo conjunto de restrições melhorou a relaxação linear da FBCC de 2.5 para 3.5, além de possibilitar a obtenção de uma solução com três variáveis inteiras.

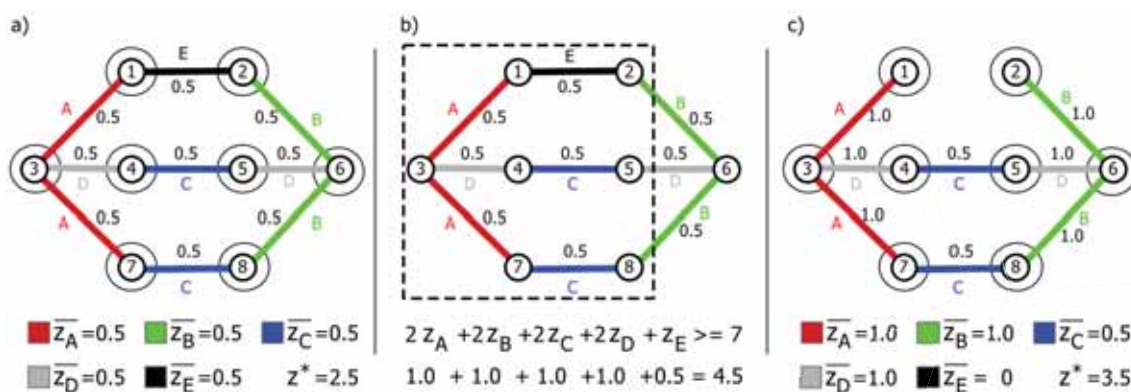


Figura 3. (a) Relaxação linear do modelo FBCC em singletons, (b) Corte encontrado pela heurística de separação para o IC, (c) Relaxação linear após adição do corte.

A Heurística de Corte Mais Violado por Raiz ( $HCMV_r$ ) é o procedimento utilizado como base para as heurísticas de separação propostas. A  $HCMV_r$  parte de um vértice raiz e aumenta o conjunto  $S$  de forma gulosa em busca de cortes de IC violados, utilizando a função  $b(v, \bar{z}, S)$ , que retorna a soma dos valores da relaxação linear das arestas com um extremo em  $v$  e outro em  $S$ . As funções  $cutSum(S)$  e  $intSum(S)$  retornam a soma das arestas do corte  $\delta(S)$  e a soma das arestas com dois extremos em  $S$ , respectivamente.

---

#### Algoritmo 1: Heurística de Corte Mais Violado por Raiz- $HCMV_r$

---

```

1  Procedimento  $HCMV_r$  ( $root$ )
2   $S \leftarrow \{root\}$ ;
3   $Cut \leftarrow \emptyset$ ;
4   $maiorViolacao \leftarrow -\infty$ ;
5  enquanto  $|S| < |V|$  faça
6       $S \leftarrow S \cup \{minback(V \setminus S)\}$ ;
7       $violacao \leftarrow |S| - cutSum(S) - intSum(S)$ ;
8      se  $violacao > 0$  E  $violacao > maiorViolacao$  então
9           $Cut \leftarrow S$ ;
10          $maiorViolacao \leftarrow violacao$ ;
11  retorne  $Cut$ ;
```

---

O Algoritmo 1 descreve a ( $HCMV_r$ ). As linhas 2-4 inicializam as estruturas de dados; as linhas 5-10 trazem o laço principal do método; na linha 6 é adicionado ao



conjunto  $S$  o vértice com o valor  $\min\text{back}(V \setminus S) = \min\{b(v_k) \mid \forall v_k \in V \setminus S\}$ ; a linha 7 calcula a violação para o conjunto  $S$ ; enquanto as linhas 8-10 mantêm o melhor corte, que é retornado pelo procedimento na linha 11.

A primeira heurística de separação proposta: Heurística de Corte Mais Violado (HCMV), executa a HCMV<sub>r</sub> para toda raiz possível e retorna o melhor corte encontrado. A segunda heurística de separação proposta: HCMV Múltipla (HCMVm) é uma simples modificação na HCMV para que esta retorne o primeiro corte violado encontrado para cada tamanho diferente de  $S$ . Ambas heurísticas de separação são aplicadas apenas no nó raiz da árvore de *branch-and-bound* da FBCC ou na raiz de cada subproblema gerado pelo *branching* prévio.

#### 4. Resultados Computacionais

Todos os métodos estudados neste trabalho foram desenvolvidos em linguagem C++, utilizando o compilador g++ versão 4.6.3 (opção de compilação -O3), com o auxílio do resolvidor matemático CPLEX versão 12.5.1. Os experimentos computacionais foram executados em um computador com processador *Intel Core I7* (64 bits), com CPU contendo 4 *cores* de 3.4 GHz, além de 16 GB de RAM e executando o sistema operacional Linux Ubuntu 14.04 LTS. Os experimentos foram realizados com 4 *threads* e tempo limite de duas horas, sendo expandido para quatro horas para o experimento detalhado.

As instâncias usadas nos experimentos possuem 120 grafos-problema com  $|V| = 200$  gerados de forma aleatória por Cerulli *et al.* (2005). O conjunto consiste em 12 grupos de instâncias com distintas dimensões, sendo cada grupo definido por uma combinação entre  $|L| = \{50; 100; 200; 250\}$  e  $d = \{ld = 0, 2; md = 0, 5; hd = 0, 8\}$ ,  $d$  representando a densidade do grafo. Cada grupo possui 10 instâncias distintas de mesma dimensão.

A Tabela 1 apresenta o resultado do primeiro experimento realizado, que teve como objetivo o estudo comparativo do desempenho da FBCC em relação ao EC<sub>sn</sub>, melhor método exato da literatura. Cada linha da tabela está relacionada com um grupo de 10 instâncias de mesma dimensão, descrito no primeiro conjunto de colunas. A coluna *Med* indica a média dos valores ótimos obtidos para o grupo de instâncias. As colunas restantes são divididas em dois conjuntos: EC<sub>sn</sub> e FBCC, que possuem as colunas  $O$ , indicando o número de instâncias resolvidas,  $t(s)$  que representa o tempo total (em segundos) que o método levou para resolver todas as instâncias,  $\text{Min } t$  ( $\text{Max } t$ ) que exibe o menor (maior) tempo necessário para resolver uma única instância e  $B$ , reportando o número de vezes que o método obteve o melhor tempo de execução. De modo adicional, o grupo FBCC possui a coluna  $\Delta t$  que representa a porcentagem da diferença (*gap*) entre os tempos totais de execução dos dois métodos.

Podemos observar na Tabela 1 que a FBCC obteve desempenho superior ao EC<sub>sn</sub>, alcançando menores tempos de execução em 11 de 12 grupos de instâncias, além de apresentar um *gap* expressivo de -51% para o grupo de instâncias mais difíceis: 200-ld-250. Além disto, o FBCC conseguiu os melhores tempos para todas as instâncias individuais em 4 grupos, vencendo por 9 a 1 em outros 4.

O segundo experimento, reportado na Tabela 2, foi realizado sobre os três conjuntos de instâncias mais difíceis (200-md-250, 200-ld-200 e 200-ld-250) com objetivo de analisar o desempenho das novas estratégias propostas e detalhar os resultados de forma individual para cada instância. Uma vez que a FBCC apresentou desempenho superior, os

**Tabela 1. Resultados computacionais dos métodos exatos para instâncias com  $|V| = 200$ .**

Instâncias			$EC_{sn}$					FBCC					
$ L $	$d$	$Med$	$O$	$t(s)$	$Min t$	$Max t$	$B$	$O$	$t(s)$	$\Delta t$	$Min t$	$Max t$	$B$
250	ld	13,8	7	15057,4	240,99	6490,0	1	7	<b>7407,25</b>	<b>-51%</b>	25,35	2853,3	6
	md	6,3	10	<b>1335,4</b>	38,39	529,48	6	10	1477,49	11%	12,85	334,80	4
	hd	4,0	10	89,81	1,71	12,15	0	10	<b>49,11</b>	<b>-45%</b>	1,08	9,40	<b>10</b>
200	ld	11,9	9	4842,57	40,19	2594,7	1	10	<b>2037,29</b>	<b>-58%</b>	19,15	6919,1	<b>9</b>
	md	5,4	10	325,00	5,51	143,56	2	10	<b>268,18</b>	<b>-17%</b>	2,56	96,55	8
	hd	4,0	10	89,78	1,71	12,15	0	10	<b>49,11</b>	<b>-45%</b>	1,07	9,35	<b>10</b>
100	ld	7,9	10	123,60	1,46	39,05	1	10	<b>48,84</b>	<b>-60%</b>	0,46	15,79	<b>9</b>
	md	3,4	10	8,15	0,42	1,75	2	10	<b>6,27</b>	<b>-23%</b>	0,146	2,88	8
	hd	2,6	10	3,14	0,21	0,39	1	10	<b>2,12</b>	<b>-32%</b>	0,078	0,40	<b>9</b>
50	ld	5,2	10	3,85	0,15	0,69	1	10	<b>2,23</b>	<b>-42%</b>	0,06	0,52	<b>9</b>
	md	2,2	10	1,24	0,10	0,15	0	10	<b>0,35</b>	<b>-71%</b>	0,02	0,06	<b>10</b>
	hd	2,0	10	1,55	0,15	0,16	0	10	<b>0,18</b>	<b>-88%</b>	0,01	0,02	<b>10</b>

aprimoramentos foram aplicados sobre esta: o índice  $p$  indica a utilização do *branching* prévio (BP), enquanto os índices  $b$  e  $m$  indicam o uso dos cortes de cores incidentes (IC) com as heurísticas de separação HCMV e mHCMV, respectivamente. Cada linha da tabela representa uma instância; a primeira coluna,  $\# Inst.$ , traz o número da instância no grupo; a coluna  $\acute{O}t.$  reporta o valor ótimo; a coluna  $Nós_p$  exibe o número de nós gerados pelo BP enquanto as colunas restantes apresentam os tempos que cada método levou para obter o resultado. Células com  $NF$  indicam que o método não concluiu a execução dentro do limite de tempo.

Podemos observar pela Tabela 2 que tanto o BP quanto as heurísticas de separação de IC conseguem melhorar o desempenho da FBCC em várias instâncias, tendo a  $FBCC_p$  obtido o melhor desempenho para o grupo 200-ld-200. A combinação do BP com os cortes de IC separados pela heurística HCMV, contudo, produz resultados ainda mais expressivos: A  $FBCC_{pb}$  apresenta o menor tempo de execução total para os grupos 200-md-250 e 200-ld-250, alcançando o ótimo para todas as instâncias exceto uma, que foi resolvida pela  $FBCC_b$ . Vale ressaltar que os métodos explorados neste trabalho conseguiram provar todos os ótimos para o grupo de instâncias de Cerulli *et al.* (2005) com  $|V| = 200$ , dentre estes, quatro novos ótimos para instâncias com  $|L| = 200$  e oito para  $|L| = 250$ .

## 5. Considerações Finais e Proposta de Trabalhos Futuros

Neste trabalho é abordado o Problema de Árvore Geradora de Rótulação Mínima (PAGR), no qual dado um grafo não orientado  $G = (V, E, L)$ , onde cada aresta  $e \in E$  possui um conjunto de rótulos  $L(e)$  associado; o objetivo é encontrar uma árvore geradora de  $G$  que utilize o menor número de rótulos possível. Foi realizado um estudo comparativo entre a FBCC e o melhor método exato da literatura; foi proposta uma nova estratégia de *branch-and-bound*, denominada *branching* prévio (BP); um novo conjunto de inequações válidas (cortes de cores incidentes, IC) e duas heurísticas de separação.

Os experimentos computacionais realizados demonstraram que a FBCC obteve desempenho superior ao  $EC_{sn}$ , alcançando melhores tempos de execução para todos os grupos de instâncias, exceto o 200-md-250. Também pudemos observar que tanto o BP

**Tabela 2. Resultados computacionais detalhados para instâncias difíceis.**

*Instâncias com  $|V| = 200$ ,  $|L| = 250$  e  $d=md$*

# Inst.	Ót.	FBCC	$EC_{sn}$	$FBCC_b$	$FBCC_m$	$FBCC_p$	$FBCC_{pb}$	$FBCC_{pm}$	Nós <sub>p</sub>
0	6	172,43	60,56	45,34	257,99	67,80	<b>44,71</b>	63,22	60
1	7	12,85	38,39	<b>12,18</b>	14,29	40,75	59,96	72,31	48
2	6	249,32	126,31	<b>33,57</b>	55,27	183,64	43,89	65,94	63
3	7	113,18	529,48	166,91	67,18	<b>26,54</b>	48,29	52,82	45
4	6	<b>31,57</b>	110,69	52,61	93,16	117,57	48,93	71,18	65
5	6	158,21	139,97	118,53	223,17	344,26	<b>48,99</b>	68,80	65
6	7	45,03	49,49	47,90	59,21	<b>39,90</b>	57,26	71,96	41
7	6	125,18	61,93	175,15	238,59	65,23	<b>42,86</b>	61,91	58
8	6	234,91	127,59	143,03	72,97	292,15	<b>44,59</b>	64,23	60
9	6	334,80	91,00	115,29	<b>35,49</b>	79,59	44,62	64,27	60
<b>Total</b>	<b>63</b>	<b>1477,49</b>	<b>1335,40</b>	<b>910,51</b>	<b>1117,32</b>	<b>1257,43</b>	<b>484,09</b>	<b>656,62</b>	<b>565</b>

*Instâncias com  $|V| = 200$ ,  $|L| = 200$  e  $d=ld$*

# Inst.	Ót.	FBCC	$EC_{sn}$	$FBCC_b$	$FBCC_m$	$FBCC_p$	$FBCC_{pb}$	$FBCC_{pm}$	Nós <sub>p</sub>
0	13	<b>107,02</b>	262,10	351,54	313,21	350,45	466,18	448,21	240
1	13	43,05	431,32	<b>39,16</b>	39,17	148,31	267,09	266,53	288
2	10	6919,11	13000,30	7578,18	4587,48	302,16	<b>241,54</b>	263,43	589
3	13	405,57	<b>138,99</b>	439,91	441,23	522,45	658,75	656,78	323
4	12	100,37	159,44	129,37	<b>54,04</b>	61,66	160,94	161,86	240
5	10	664,65	1015,40	654,71	315,84	480,29	<b>193,74</b>	215,72	456
6	14	<b>586,96</b>	2594,68	NF	2855,04	1637,166	1777,08	1776,83	180
7	12	91,22	117,18	<b>70,11</b>	256,24	156,83	343,02	414,36	255
8	11	<b>19,15</b>	83,28	36,83	67,82	74,45	128,75	172,51	225
9	11	<b>19,31</b>	40,19	157,32	82,28	72,83	221,15	258,53	288
<b>Total</b>	<b>119</b>	<b>8956,40</b>	<b>17842,87</b>	<b>9457,13</b>	<b>9012,35</b>	<b>3806,609</b>	<b>4458,23</b>	<b>4634,76</b>	<b>3084</b>

*Instâncias com  $|V| = 200$ ,  $|L| = 250$  e  $d=ld$*

# Inst.	Ót.	FBCC	$EC_{sn}$	$FBCC_b$	$FBCC_m$	$FBCC_p$	$FBCC_{pb}$	$FBCC_{pm}$	Nós <sub>p</sub>
0	14	<b>25,35</b>	1019,78	98,74	29,15	789,25	1044,71	1103,46	240
1	16	NF	NF	<b>12476,54</b>	NF	14337,26	NF	NF	289
2	12	11778,37	12787,70	NF	NF	9032,87	<b>445,34</b>	672,03	513
3	15	1514,73	4334,85	<b>459,57</b>	1697,75	873,74	982,93	956,03	306
4	14	<b>60,87</b>	241,00	179,12	171,86	205,93	432,81	463,46	240
5	12	NF	NF	NF	NF	NF	<b>987,99</b>	1281,00	680
6	15	2574,64	6490,00	2601,57	2596,05	<b>1663,02</b>	1713,05	1713,88	180
7	14	2853,33	2227,73	3851,92	5049,71	2093,95	<b>1921,88</b>	3102,68	240
8	12	80,47	331,17	40,87	<b>31,73</b>	80,21	187,53	258,39	240
9	13	297,87	412,91	<b>199,00</b>	558,10	531,96	246,56	387,19	288
<b>Total</b>	<b>137</b>	<b>19185,63</b>	<b>27854,12</b>	<b>19907,33</b>	<b>10134,35</b>	<b>29608,18</b>	<b>7262,79</b>	<b>9938,14</b>	<b>3216</b>

quanto os cortes IC são capazes de melhorar o desempenho da FBCC, conseguindo provar doze novos ótimos para o PAGRM, fechando, assim, o grupo de instâncias de Cerulli *et al.* (2005) com  $|V| = 200$ .

Para a continuidade da pesquisa propomos a exploração de meta-heurísticas e métodos exatos, especificamente modelos matemáticos, para separação de cortes de cores incidentes com objetivo de fortalecer a relaxação linear da FBCC. Um outro caminho a ser seguido é a proposição de novos modelos para o PAGRM, possibilitando a sua resolução por técnicas de geração de colunas e *branch-and-cut-and-price*.

## Referências

- Captivo, M., Clímaco, J. a. C. N. e Pascoal, M. M. B.** (2009), A mixed integer linear formulation for the minimum label spanning tree problem. *Comput. Oper. Res.*, v. 36, n. 11, p. 3082–3085.
- Cerulli, R., Fink, A. e Gentili, Monica e Voß, S.** Metaheuristics comparison for the minimum labelling spanning tree problem. Golden, B., Raghavan, S. e Wasil, E. (Eds.), *The Next Wave in Computing, Optimization, and Decision Technologies*, volume 29 of *Operations Research/Computer Science Interfaces Series*, p. 93–106. Springer US, 2005.
- Chang, R.-S. e Leu, S.-J.** (1997), The minimum labeling spanning trees. *Inf. Process. Lett.*, v. 63, n. 5, p. 277–282.
- Chwatal, A. M. e Raidl, G. R.** Solving the minimum label spanning tree problem by ant colony optimization. Arabnia, H. R., Hashemi, R. R. e Solo, A. M. G. (Eds.), *GEM*, p. 91–97. CSREA Press. ISBN 1-60132-145-7, 2010.
- Chwatal, A. M. e Raidl, G. R.** (2011), Solving the minimum label spanning tree problem by mathematical programming techniques. *Adv. Operations Research*, v. 2011.
- Chwatal, A. M., Raidl, G. R. e Oberlechner, K.** (2009), Solving a  $k$ -node minimum label spanning arborescence problem to compress fingerprint templates. *J. Math. Model. Algorithms*, v. 8, n. 3, p. 293–334.
- Consoli, S., Mladenović, N. e Moreno Pérez, J.** (2015), Solving the minimum labelling spanning tree problem by intelligent optimization. *Appl. Soft Comput.*, v. 28, n. C, p. 440–452.
- Consoli, S., Darby-Dowman, K., Mladenovic, N. e Moreno-Pérez, J. A.** (2009), Greedy randomized adaptive search and variable neighbourhood search for the minimum labelling spanning tree problem. *European Journal of Operational Research*, v. 196, n. 2, p. 440 – 449.
- Fischetti, M. e Lodi, A.** (2003), Local branching. *Mathematical Programming*, v. 98, n. 1-3, p. 23–47.
- Krumke, S. O. e Wirth, H.-C.** (1998), On the minimum label spanning tree problem. *Inf. Process. Lett.*, v. 66, n. 2, p. 81–85.
- Silva, T. G., Queiroga, E. V., de Sousa Filho, G. F., Cabral, L. A. F. e Ochi, L. S.** Abordagem híbrida para o problema da Árvore geradora com rotulação mínima. *Anais do XLVI Simpósio Brasileiro de Pesquisa Operacional*, p. 1823–1833, 2014.
- Van-Nes, R.** *Design of Multimodal Transport Networks: A Hierarchical Approach*. Tese de doutorado, Delft University, 2002.
- Wan, Y., Chert, G. e Xu, Y.** (2002), A note on the minimum label spanning tree. *Inf. Process. Lett.*, v. 84, n. 2, p. 99–101.
- Xiong, Y., Golden, B. e Wasil, E.** (2006), Improved heuristics for the minimum label spanning tree problem. *Evolutionary Computation, IEEE Transactions on*, v. 10, n. 6, p. 700–703.
- Xiong, Y., Golden, B. L. e Wasil, E. A.** (2005), A one-parameter genetic algorithm for the minimum labeling spanning tree problem. *IEEE Trans. Evolutionary Computation*, v. 9, n. 1, p. 55–60.